

鉄道技術研究所 正員 ○高橋秀治
鉄道技術研究所 総務部司

1. トンネル周壁支撑のメカニズム

吹付けコンクリート工の機能は次のように説明される。掘削面に現われた割れ目やくぼみ(凹所)にはコンクリートが十分厚く吹付けられ、健全な岩石が突出している部分では薄く吹付けられる。コンクリートが周壁岩盤によく接着し、開いた割れ目の相当深くまで進入していくところが岩盤を互いに結合させる。これによるある厚さのコンクリートの層ができ、これに接するある範囲内の周壁岩盤とが共同してアーチングを形成する。掘削時に周壁を構成する地層・岩盤に加えられた擾乱・ゆるみのエキスガーベのために、周壁の地層・岩盤は相当深いところから内壁へ向って伸長・変位してくる。そのとき、壁面は逆にアーチングの抗体に遭遇し、その反力によって内壁への変位が阻止される。伸長・変位の過程で形成されたグランドアーチは、この抗体によってその拡大が阻止されることになる。

2. 抗体の機能と周壁岩盤のゆるみの傾向

抗体として鋼アーチ支保工と吹付けコンクリート工と並んで周壁岩盤のゆるみのすみかんを比べてみよう。表1及図2は新開門トンネル金山斜坑(九州方)内で実施された坑内弹性波速度計測の結果を示したものである。これによれば、掘削後のゆるみ段丘において周壁の岩盤がゆるみでほぼ3層構造を示している。第1層といふのは壁面附近にあら低速度帶であつてゆるみE部分であり、第3層は岩盤本來の速度をもつ分帶構造の基盤に相当する。図1は分帶構造の1例を示したものである。

ゆるみの経時変化をフランジ部におけるデータに基いて述べると次のようになる。この傾向は側壁部分についても同様である。

- (1) 掘削後半年間の間に支保工正間では、第1層(表層)は速度($1.6 \text{ km/sec} \rightarrow 1.5 \text{ km/sec}$)とその厚さ($0.5 \text{ m} \rightarrow 0.5 \text{ m}$)がほとんど変化していないが、第2層(中間層, $3.4 \text{ km/sec} \rightarrow 3.0 \text{ km/sec}$, $1.0 \text{ m} \rightarrow 1.6 \text{ m}$)と第3層(基盤, $4.8 \text{ km/sec} \rightarrow 4.5 \text{ km/sec}$)とは(1)内数値のようない速度と厚さが変化している。基盤までの深さ(第1層と第2層の厚さの和、ゆるみ段丘に相当)が 1.5 m から 2.1 m までと増加している。実際には、基盤の速度が低下したことから真的基盤は第4層以下に転換し、したがってゆるみは表記されたものより大きいことになる。
- (2) 吹付けコンクリート工正間では、第1層($1.6 \text{ km/sec} \rightarrow 1.5 \text{ km/sec}$, $0.5 \text{ m} \rightarrow 0.5 \text{ m}$)がほとんど変化していないのは支保工正間と同様であるが、第2層の速度が 3.1 km/sec から 2.5 km/sec まで低下し、その厚さが 0.8 m から 1.2 m まで増加している。したがって第3層までのゆるみ深さが 1.3 m から 1.7 m まで拡大しているが、第3層の速度は変化していない。
- (3) このようなことから、吹付け正間の経時変化は第1層はコンクリートによる強制力が周壁の変化を阻止し、掘削時に導入された擾乱が第2層のゆるみによって補償されている。これに付して、支保工正間では吹付けコンクリート工のような強制力がないために、周壁の岩盤が全体的にゆるみ、その領域を拡大している。という比較がなり立つのではないかと思われる。吹付けコンクリート工と鋼アーチ支保工との間に認められるこのような傾向は青函トンネル調査坑の工事に際しても認められている。なお、側壁部とフランジ部との比較では、フランジ部におけるゆるみの発達の量を遠く大きいが、吹付けコンクリート工において側壁の支持効果がよく現われているといえないのであろうか。

3. 吹付ケンタリート工法の適用できる地質について（適用事例）

鉄道トンネルの実施例について地質条件を示しておくる。

(1) 新開門トンネル(斜坑): $V_p > 4 \text{ km/s}$,

中生代閩浙層群的地層上之紅色黃色花崗岩類。

表 1 速度分帶上経時変化(新開門トネル)

岩下—Ⅲ

(2) 紅葉山線新登川トネキル: $V_p = 3.6 \sim 2.5 \frac{\text{km}}{\text{sec}}$,
葉片状蛇紋岩, 最大土压 $130 \frac{\text{kN}}{\text{m}^2}$.

(3) 鹿館本線巖山トンネル: $V_p = 4 - 2.5 \frac{t}{S}$,
標準軸荷重 $t = 10 \text{ t}/\text{車}$

(4) 北陸本線鋼鉄トンネル: $V_p = 2.9 \sim 1.5 \frac{\text{km}}{\text{s}}$,

(5) 青函トンネル: $V_p = 3.9 \sim 2.3 \text{ km/s}$, 第三紀層の凝灰岩・シルト岩・岩頁

18. 11. 1913 - 1914, 1915,

測定区間	掘士	測定回数	1層		2層		基盤	
			速度(Vp) (km/s)	厚さ (m)	速度(Vp) (km/s)	厚さ (m)	速度(Vp) (km/s)	厚さ (m)
奥門	46	0	1.6	0.2-0.7	3.0-3.2	0.1-1.2	4.4-5.5	0.3-1.9
金山	2	1	(1.6)	0.07	(0.5)	(3.1)	(0.8)	(4.8)
斜削	22		09-1.6	0.2-0.6	2.2-2.8	0.6-2.0	4.4-5.5	0.8-2.6
クラクソン	127m	6	46	(1.5)	0.06	(0.5)	(2.5)	0.17
	161m	3	123	(1.5)	0.06	(0.5)	(2.4)	0.16
(吹付)	2		(1.5)	(0.5)	(2.4)	(1.4)	(4.8)	0.64 (1.9)
同上	46	0	1.6-2.2	0.2-0.7	3.2-4.0	0.3-1.8	4.5-5.4	0.5-2.5
クラクソン	3	1	(1.6)	0.07	(0.5)	(3.4)	0.32	(1.0) (4.8)
	161m	2	09-1.6	0.2-0.6	2.2-3.5	0.8-2.0	3.6-4.8	1.0-2.6
195m	46	6	2	(1.5)	0.06	(0.5)	(3.0)	0.25 (1.6) (4.5)
(吹抜工)	3	9	123	(1.5)	0.06	(0.5)	(2.6)	0.19 (1.7) (4.4) 0.54 (2.2)
同上	46	0	2.2-3.6	0.2	1.0		4.3-5.5	0.2-1.0
側壁	2	1	(2.8)	0.22	(1.0)		(5.0)	(1.0)
127m	22	6	2	2.2-3.2	1.0-2.0		4.3-5.5	1.0-2.0
161m	46	2	(2.8)	0.22	(1.4)		(5.0)	(1.4)
(吹付)	3		2.2-3.2	1.0-2.0		4.3-5.5	1.0-2.0	
2	123	(2.8)	0.22	(1.4)		(5.0)	(1.4)	
同上	46	0	1	2.2	0.19-1.2		4.3-5.0	0.9-1.2
側壁	3		(2.2)	0.13	(1.0)		(4.8)	(1.0)
161m	2	6	2	1.6	0.3-0.8	2.0-2.2	0.7-1.7	3.9-5.0 1.0-2.5
195m	46	3	(1.6)	0.07	(0.5)	(2.0)	(1.5) (4.6)	0.59 (2.0)
(吹抜工)	3	123	1.6	0.07	0.3-0.8	2.0-2.2	0.7-1.7	3.9-5.0 1.0-2.5
			(1.6)	(0.5)	(2.0)	0.11 (1.5) (4.6)	0.59 (2.0)	

図1 トンネル周壁の速度分帶(青函T、吉岡斜坑)

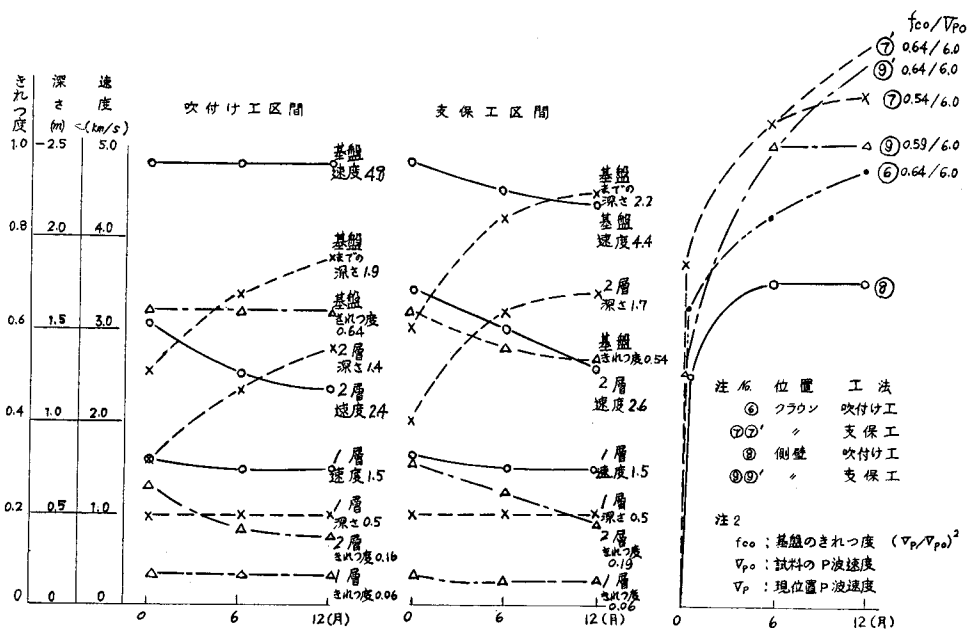


図.2 工法による周壁のゆるみの経時変化の比較(新関門トンネル、金山斜坑、浅野郡司らより)